

Journal of Natural Environmental Hazards, Vol.14, Issue 44, June 2025

Monitoring and zoning of long-term variation of the DSI in the eastern half of Iran

Mehdi Rahnama¹, Faezeh Noori², Saviz Sehat Kashani^{3*}, Noushin Khoddam⁴

1. Associate Professor, Sand and Dust Storm International Research Center (SDS-IRC), Research Institute of Meteorology and Atmospheric Science (RIMAS), Tehran, Iran

2. PhD student of Meteorology, Researcher, Sand and Dust Storm International Research Center (SDS-IRC), Research Institute of Meteorology and Atmospheric Science (RIMAS), Tehran, Iran

3. Corresponding Author, Associate Professor, Sand and Dust Storm International Research Center (SDS-IRC), Research Institute of Meteorology and Atmospheric Science (RIMAS), Tehran, Iran

4. - PhD in Meteorology, Researcher, Sand and Dust Storm International Research Center (SDS-IRC), Research Institute of Meteorology and Atmospheric Science (RIMAS), Tehran, Iran

Article Info

ABSTRACT

Article type:

Research Article

Article history:

Received: 29 April 2024

Revised: 04 December 2024

Accepted: 12 January 2025

Keywords:

DSI, Dust, Eastern half of Iran,
Zoning.

Climate change is an important factor that increases the risks of wind erosion and dust storms. To study the frequency and intensity of the dust phenomenon in the eastern half of the country, the Dust Storm Index was used between 2002 and 2023. Based on the DSI, profiles of the frequency and intensity of dust storms in the study area were calculated using the geostatistical interpolation methods of Inverse distance weighted interpolation. In general, the time series of the dust storm index during the 2002–2023 statistical period showed a significant increasing trend in the Razavi Khorasan, South Khorasan, and North Khorasan. In Sistan and Baluchestan, we observed more irregular variation and no significant trends. The Zabol and Sarkhs stations had the highest number of dust storms. The results showed that the monthly average variation in the DSI in the first eight months of the year generally increased. The DSI decreased in the months following December. In terms of geographical distribution, the DSI showed higher values in the eastern and southeastern halves, and the lowest values in the northeastern regions. Analyzing the trend of variations of this index in the half-east, north-east, and south-east of the country, in addition to the south-east parts of the country, in recent years the eastern parts of Razavi Khorasan have also been involved in this phenomenon. The formation of low pressure in the southwest of Afghanistan, northwest Pakistan, and east of Iran, simultaneously with the establishment of high pressure in the north of Afghanistan and northeast of Iran, causes the creation of an intensive pressure gradient and relatively strong surface winds. These conditions activated internal and transboundary sources of dust in the study area, leading to the spread and transfer of dust to the eastern half of Iran.

Cite this article: Rahnama, M. , Noori, F. , Sehat Kashani, S. and Khoddam, N. (2025). Monitoring and zoning of long-term variation of the DSI in the eastern half of Iran. Journal of Natural Environmental Hazards, 14(44), 19-36.
DOI: 10.22111/jneh.2025.48604.2040



© Saviz Sehat Kashani*

DOI: 10.22111/jneh.2025.48604.2040

Publisher: University of Sistan and Baluchestan

* Corresponding Author Email: s-sehat@irimo.ir

مجله علمی پژوهشی مخاطرات محیط طبیعی، دوره ۱۴، شماره ۴۴، تیر ۱۴۰۴

پایش و پنهان‌بندی تغییرات بلندمدت شاخص طوفان گردوغبار نیمه شرقی ایران

مهردی رهنما^۱، فائزه نوری^۲، ساویز صحت کاشانی^{۳*}، نوشین خدام^۴

۱. دانشیار، مرکز بین‌المللی مطالعات گردوخاک، پژوهشگاه هواشناسی و علوم جو، تهران، ایران
۲. دانشجوی دکتری هواشناسی، پژوهشگر، مرکز بین‌المللی مطالعات گردوخاک، پژوهشگاه هواشناسی و علوم جو، تهران، ایران
۳. دانشیار، مرکز بین‌المللی مطالعات گردوخاک، پژوهشگاه هواشناسی و علوم جو، تهران، ایران (نویسنده مسئول)
۴. دانش آموخته دکتری هواشناسی، پژوهشگر، مرکز بین‌المللی مطالعات گردوخاک، پژوهشگاه هواشناسی و علوم جو، تهران، ایران

اطلاعات مقاله

نوع مقاله: مقاله پژوهشی	چکیده
تاریخ دریافت: ۱۴۰۳/۰۲/۱۰	تغییرات اقلیمی یکی از عوامل مهمی است که سبب افزایش خطر فرسایش بادی و طوفان‌های گردوغبار می‌شود؛ بهویژه وقوع رخدادهای شدید و حرکت به سمت اقلیم خشکتر، این امر را تشیدید می‌نماید. در این پژوهش بهمنظور مطالعه فراوانی و شدت پدیده گردوغبار در نیمه شرقی ایران، از شاخص طوفان گردوغبار (DSI) بین سال‌های ۲۰۰۲ تا ۲۰۲۳ استفاده شد. بر اساس DSI نمایه‌هایی از فراوانی و شدت طوفان گردوغبار در منطقه موردمطالعه بر اساس روش‌های درون‌یابی زمین‌آماری عکس مجدول فاصله با تفکیک مکانی یک‌دیریک کیلومتر محاسبه شده است. بهطورکلی، سری زمانی شاخص طوفان گردوغبار طی دوره آماری ۲۰۰۲ تا ۲۰۲۳، نشان‌دهنده روند افزایشی معنی‌داری در دو استان خراسان رضوی و خراسان شمالی است. در استان سیستان و بلوچستان و خراسان جنوبی شاهد تغییرات نامنظم‌تر و فاقد روند معنی‌دار هستیم. ایستگاه‌های زابل و سرخس بیشترین مقدار شاخص طوفان گردوغبار را دارا هستند. نتایج بهدست آمده نشان داد که تغییرات میانگین ماهانه DSI در ۸ ماه اول سال میلادی (ژانویه تا اوت) بهطورکلی افزایشی است و در ماه‌های بعد تا ماه دسامبر مقدار DSI کاهشی است. از نظر توزیع جغرافیایی، DSI در نیمه شرقی و جنوب شرقی مقادیر بالاتری را نشان می‌دهد و در نواحی شمال شرقی دارای حداقل مقدار است. بررسی روند تغییرات این شاخص در شرق، شمال شرق و جنوب شرق کشور مشخص نمود علاوه بر قسمت‌های جنوب شرقی کشور، در سال‌های اخیر بخش‌های شرقی استان خراسان رضوی نیز درگیر این پدیده شده است. با مطالعه دو رخداد گردوغبار، مشاهده شد که شکل‌گیری مراکز کم‌فشار در جنوب غربی افغانستان، شمال غربی پاکستان و شرق ایران هم‌زمان با استقرار مراکز پرفشار در شمال افغانستان و شمال شرقی ایران سبب شکل‌گیری شیوه فشاری و ایجاد بادهای نسبتاً شدید سطحی شده و چشممه‌های گردوغبار داخلی و فرامرزی را در محدوده موردمطالعه تقویت کرده و گسیل و انتقال گردوغبار را به نیمه شرقی ایران بههمراه دارد.
تاریخ ویرایش: ۱۴۰۳/۰۹/۱۴	واژه‌های کلیدی:
تاریخ پذیرش: ۱۴۰۳/۱۰/۲۳	پنهان‌بندی، گردوغبار، DSI، نیمه شرقی ایران.

استناد: رهنما، مهردی، نوری، فائزه، صحت کاشانی، ساویز و خدام، نوشین. (۱۴۰۴). پایش و پنهان‌بندی تغییرات بلندمدت شاخص طوفان گردوغبار

نیمه شرقی ایران. مخاطرات محیط طبیعی، ۴۴(۱۴)، ۳۶-۱۹. DOI: 10.22111/jneh.2025.48604.2040.



© مهردی رهنما، فائزه نوری، ساویز صحت کاشانی*، نوشین خدام.

ناشر: دانشگاه سیستان و بلوچستان

مقدمه

طوفان‌های گردوغبار، یکی از مهم‌ترین مخاطرات جوی است که جنبه‌های مختلف زندگی انسان‌ها از جمله سلامت، زیست‌بوم، صنعت و انرژی را دستخوش تغییراتی نموده و خسارت‌های مالی و جانی قابل توجهی را بر جوامع تحمیل می‌کند (رهنما و همکاران، ۱۴۰۰؛ میدلتون، ۲۰۱۹). بر اساس برآورد انتشار کل گردوغبار توسط بانک جهانی (۲۰۱۹)، سهم منابع طبیعی در انتشار گردوغبار ۷۵٪ و منابع انسان‌زاد ۲۵٪ تخمین زده شده است. با این حال، انتشار سالانه جهانی گردوغبار از خاورمیانه و آسیای مرکزی حدود ۳۰ درصد کل انتشار گردوغبار جهانی در جو را به خود اختصاص می‌دهد (کوک و همکاران، ۲۰۲۱). طبق دستورالعمل سازمان جهانی هواشناسی، می‌توان طوفان گردوغبار را بر اساس تأثیر گردوغبار بر قابلیت رؤیت و شدت گردوغبار به سه دسته تقسیم کرد (گودی، ۲۰۱۴؛ تن و همکاران، ۲۰۱۴؛ فورمن، ۲۰۰۳) که شامل طوفان گردوغبار، گردوغبار وزشی و گردوغبار معلق می‌شود. همچنین، بر اساس قدرت دید می‌توان به چهار دسته اصلی تقسیم کرد (شانو و دانگ، ۲۰۰۶) که شامل ۱) گردوغبار معلق^۱ (DIS) با گسترش وسیع و قدرت دید بیشتر از ۱۰ کیلومتر، ۲) گردوغبار وزشی (BD^۲) شن و یا گردوغبار بلندشده در زمان مشاهده رویداد و قدرت دید ۱ تا ۱۰ کیلومتر، ۳) طوفان گردوغبار (DS^۳) وزش به همراه بادهای قوی و قدرت دید ۱۰۰۰ متر و ۴) طوفان شدید گردوغبار (SDS^۴) صعود حجم بسیار بزرگی از ذرات گردوغبار به هوا و قدرت دید کمتر از ۲۰۰ متر هستند. اگرچه بهمنظور پایش طوفان‌های گردوغبار و چشممه‌های فعال، می‌توان از داده‌های سنجش‌ازدور کمک گرفت (لی و همکاران، ۲۰۲۱؛ رایگانی و همکاران، ۲۰۲۰؛ البرکات و لاکشمی، ۲۰۱۹). اولونگسای و همکاران (۲۰۱۴) در مطالعات خود نشان دادند که محاسبه شاخص طوفان گردوغبار (DSI^۵) را می‌توان به عنوان روشی مناسب و دقیق برای پایش فرسایش بادی با استفاده از داده‌های روزانه در بلندمدت درنظر گرفت. ابراهیمی خوسفی و همکاران (۲۰۲۱) سرعت باد در فصل زمستان، پوشش گیاهی در فصل بهار، بیشینه تندی باد در فصل تابستان و پاییز را میانگین عوامل مؤثر در پیش‌بینی DSI برشمردند. میری و همکاران (۲۰۲۱) با محاسبه DSI در منطقه سیستان نشان دادند که در دوره ۲۰۰۰-۲۰۰۴ بیشترین مقادیر این شاخص مشاهده شد که به طور همزمان میانگین سرعت باد بیشتر بوده است. همچنین، در این دوره مقادیر بارش، رطوبت، پوشش گیاهی و آبی نسبت به سایر دوره‌های زمانی کمتر بوده‌اند. در سال‌های اخیر، کشور ایران بهویژه نیمه شرقی آن، در معرض چالش‌های زیست‌محیطی شدید مانند طوفان گردوغبار قرار گرفته است (شمسمی‌پور، ۱۳۹۱). از پیامدهای این رخداد می‌توان به افزایش مهاجرت جمعیت روستایی در جنوب استان خراسان جنوبی و منطقه سیستان اشاره نمود (حسینی و جعفری‌زاده، ۱۴۰۲؛ اسماعیل‌نژاد و پودینه، ۱۳۹۶). از دهه ۷۰ پدیده گردوغبار با روش‌های مختلفی در کشور مورد بررسی قرار گرفته است که از آن جمله می‌توان به موارد زیر اشاره کرد. ارزیابی و پنهان‌بندی تغییرات مکانی-زمانی طوفان‌های گردوغبار با استفاده از شاخص طوفان گردوغبار در استان خوزستان (اصغری پوده و همکاران، ۱۳۹۴) نشان داد که شاخص طوفان گردوغبار (DSI) در استان خوزستان دارای روند کاهشی بوده است. همچنین، بیشترین پراکنش مقادیر DSI در نواحی شرقی تالاب شادگان و هور العظیم مشاهده شد. اقلیم‌شناسی

1 Dust-in-Suspension

2 Blowing Dust

3 Dust Storm

4 Severe Dust Storm

5 Dust Storm Index

رخدادهای طوفان گردوغبار در فصل تابستان در استان سیستان و بلوچستان در دوره ۳۰ ساله (خدمات و همکاران، ۱۳۹۸) نیز حاکی از آن بود که مقادیر DS_I در بازه زمانی موردمطالعه در ایستگاه‌های این استان روند معنی‌داری نداشته است. پیش‌بینی احتمال روزهای گردوغباری در مناطق شرقی ایران نشان داد که ایستگاه‌های سرخس و فریمان در استان خراسان رضوی و ایستگاه‌های زابل، زهک، میرجاوه، نصرت آباد، زاهدان و خاش در استان سیستان و بلوچستان دارای بیشترین احتمال وقوع روز گردوغباری بودند (حسینی و همکاران، ۱۳۹۸). تحلیل طوفان‌های گردوغبار سیستان با استفاده از شاخص‌های^۱ DS_I و DDI و کمیت‌های سرعت باد، دید افقی و غلظت PM₁₀^۲ (میری، ۱۳۹۹) نشان داد شدت طوفان‌های گردوغبار در این منطقه نسبت به سایر مناطق بیشتر است. همچنین، با محاسبه ضرایب همبستگی بین غلظت PM₁₀ و DS_I و DDI مشاهده شده که ارتباط معنی‌دار بین آن‌ها برقرار است. علاوه‌براین، با توجه به وجود ارتباط معنی‌دار بین متوسط سالانه سرعت باد با کمیت‌های یادشده، مشخص شد که تغییرات آن‌ها بهشت به تغییرات سرعت باد وابسته است. نتایج تحلیل روند تغییرات شاخص گردوغبار و ارزیابی DS_I ارتباط آن با خشک‌سالی در دامنه‌ی جنوبی البرز (جنوبی‌تر و همکاران، ۱۴۰۰) نشان داد که روند تغییرات DS_I در بازه بلندمدت در مناطق غربی و مرکزی منطقه موردمطالعه معنی‌دار بوده است. با این حال ارتباط معنی‌داری بین DS_I با شاخص خشک‌سالی وجود نداشت. تحلیل DS_I، بسامد رخدادهای گردوغبار و دید افقی در منطقه غرب آسیا (رهنما و همکاران، ۱۴۰۰) نیز نشان داد که رخدادهای محلی گردوغبار بیشتر کشورهای خاورمیانه را تحت تأثیر قرار می‌دهند. هرچند نیمه غربی و جنوب غربی ایران متأثر از رخدادهای گردوغبار فرامحلی هستند که از کشورهای مجاور منتقل می‌شود. مطالعه پنهانه‌بندی خشک‌سالی با استفاده از شاخص‌های اقلیمی و روش‌های زمین‌آمار در دشت سرخس (آرا و همکاران، ۱۴۰۲) نیز نشان داد که در بازه زمانی ۱۵ ساله (۲۰۱۵-۲۰۰۰) تعداد طوفان‌های گردوغبار با وقوع رخداد خشک‌سالی در این منطقه افزایش داشته است. با توجه به بررسی انجام‌شده، مشخص شد در مطالعات قبلی تنها مقادیر شاخص طوفان گردوغبار در استان‌ها بررسی شده است و به شناسایی الگوهای جوی موثر در شکل-گیری طوفان گردوغبار پرداخته نشده است. این مطالعه با درنظرگرفتن یک دوره آماری جدید در کل نیمه شرقی کشور انجام شده است و علاوه بر پنهانه‌بندی و مشخص نمودن روند بلندمدت شاخص طوفان گردوغبار، الگوهای همدیدی و تصاویر ماهواره از سنجنده‌های مختلف و عمق توری هواویزها نیز مورد تحلیل و بررسی قرار گرفته است.

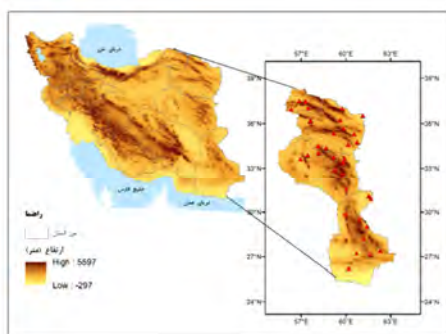
داده‌ها

منطقه مورد مطالعه

منطقه موردمطالعه در این پژوهش شامل استان‌های خراسان شمالی، خراسان رضوی، خراسان جنوبی و سیستان و بلوچستان است (شکل ۱). این استان‌ها که در بخش گرم و کم ارتفاع شرقی کشور قرار دارند، بهدلیل دوری از منابع رطوبتی داری اقلیمی متفاوت نسبت به کل کشور هستند. بخش‌های شمال شرقی، شرق و جنوب شرقی کشور با کشورهای افغانستان، پاکستان و ترکمنستان که به عنوان منشأ گردوغبار وارد شده به این استان‌ها شناسایی شده‌اند (حسینی و همکاران، ۱۳۹۸؛ صحت و همکاران، ۱۴۰۱)، مرز مشترک دارند.

¹ Dusty Days Index

² Particulate Matter



شکل ۱: توزیع مکانی ایستگاه‌های همدیدی مورداستفاده در سطح منطقه موردمطالعه. (منبع: نویسندها)

داده‌های پژوهش:

در این پژوهش، برای محاسبه DSI، از داده‌های دیدبانی شامل کد پدیده حاضر که به صورت ۳ ساعته ثبت شده‌اند (مطابق با دستورالعمل‌های^۱ WMO)، در ۳۵ ایستگاه همدیدی در منطقه موردمطالعه استفاده شده است. کدهای استفاده شده در این پژوهش مرتبط با گزارش وقوع گردوغبار در ایستگاه است که در جدول ۱ ارائه شده است.

جدول ۱: معرفی کدهای پدیده گردوغبار (WMO, 2019).

شماره کد	نام کد	توضیحات
۰۷	گردوغبار برخاسته ^۲	گردوغبار یا ماسه که در ساعت دیدبانی در اثر وزش باد در ایستگاه یا اطراف آن به هوا بلند شده است.
۰۸	تنوره دیو ^۳	گردبادهای تکامل یافته که در زمان دیدبانی یا طی یک ساعت گذشته در ایستگاه یا اطراف آن مشاهده شده است.
۰۹	طوفان گردوغبار یا طوفان ماسه ^۴	طوفان گردوغبار یا ماسه که در ساعت دیدبانی در اطراف ایستگاه وجود داشته یا در ساعت گذشته در خود ایستگاه وجود داشته است.
۳۰	طوفان ملایم یا متوسط گردوغبار یا ماسه	طوفان ملایم یا شدت طوفان کاسته شده است.
۳۱	طوفان ملایم یا متوسط گردوغبار یا ماسه	طوفان ملایم یا شدت طوفان تغییری نکرده است.
۳۲	طوفان ملایم یا متوسط گردوغبار یا ماسه	طوفان ملایم یا شدت طوفان افزوده شده است.
۳۳	طوفان شدید گردوغبار یا ماسه	طوفان شدید از شدت طوفان کاسته شده است.
۳۴	طوفان شدید گردوغبار یا ماسه	طوفان شدید شدت طوفان تغییری نکرده است.
۳۵	طوفان شدید گردوغبار یا ماسه	طوفان شدید بر شدت طوفان افزوده شده است.
۹۸	رعدوبرق توأم با طوفان گردوغبار یا طوفان ماسه	رعدوبرق توأم با طوفان گردوغبار یا طوفان ماسه

بازه زمانی موردمطالعه از سال ۲۰۰۲ تا ۲۰۲۳ بوده که DSI در این بازه به صورت سالانه، فصلی و ماهانه محاسبه و بررسی شده است. مشخصات ایستگاه‌های انتخاب شده در جدول ۲ ارائه شده است.

۱ World Meteorology Organization

۲ Rising Dust

۳ Dust Devil

۴ Dust Storm or Sand Storm

جدول ۲: مشخصات ایستگاه‌های منتخب منطقه موردمطالعه.

نام استان	نام ایستگاه	کد ایستگاه	طول جغرافیایی	عرض جغرافیایی
سیستان و بلوچستان	ابرانشهر	۴۰۸۷۹	۶۰.۷	۲۷.۲
سیستان و بلوچستان	خاش	۴۰۸۷۰	۶۱.۲	۲۸.۲
سیستان و بلوچستان	میرجاهد	۹۹۶۰۸	۶۱.۴	۲۹.۰
سیستان و بلوچستان	نیکشهر	۴۰۸۹۵	۶۰.۲	۲۶.۲
سیستان و بلوچستان	نصرت آباد	۹۹۵۸۶	۶۰.۰	۲۹.۹
سیستان و بلوچستان	سرابون	۴۰۸۷۸	۶۲.۳	۲۷.۴
سیستان و بلوچستان	زابل	۴۰۸۲۹	۶۱.۵	۳۱.۱
سیستان و بلوچستان	زابلی	۴۰۸۷۴	۶۱.۷	۲۷.۱
سیستان و بلوچستان	ضحاک	۹۹۶۲۳	۶۱.۷	۳۰.۹
سیستان و بلوچستان	Zahidan	۴۰۸۵۶	۶۰.۹	۲۹.۵
خراسان شمالی	بنجورد	۴۰۷۲۳	۵۷.۳	۳۷.۵
خراسان شمالی	اسفراین	۹۹۲۸۷	۵۷.۵	۳۷.۰
خراسان شمالی	جامرم	۹۹۲۹۵	۵۶.۳	۳۷.۰
خراسان شمالی	مانه و سملقان	۹۹۲۶۲	۵۶.۹	۳۷.۵
خراسان جنوبی	بیرجند	۴۰۸۰۹	۵۹.۳	۳۲.۹
خراسان جنوبی	پیرویه	۹۹۴۰۷	۵۷.۴	۳۲.۹
خراسان جنوبی	فردوس	۴۰۷۹۲	۵۸.۲	۳۴.۰
خراسان جنوبی	حاجی آباد (خراسان جنوبی)	۹۹۴۰۲	۵۹.۹	۳۲.۶
خراسان جنوبی	نهیندان	۴۰۸۲۷	۶۰.۰	۳۱.۵
خراسان جنوبی	قاین	۴۰۷۹۳	۵۹.۲	۳۳.۷
خراسان جنوبی	سرپیشه	۹۹۴۹۹	۵۹.۸	۳۲.۶
خراسان جنوبی	طبس	۴۰۷۹۱	۵۷.۰	۳۲.۶
خراسان جنوبی	زهان	۹۹۴۴۸	۵۹.۸	۳۲.۴
خراسان رضوی	بحستان	۹۹۴۳۶	۵۸.۲	۳۴.۵
خراسان رضوی	فریمان	۴۰۸۲۵	۵۹.۸	۳۵.۶
خراسان رضوی	گناباد	۴۰۷۷۸	۵۸.۷	۳۴.۴
خراسان رضوی	کلات نادر	۹۹۲۸۹	۵۹.۸	۳۷.۰
خراسان رضوی	خواف	۴۰۸۳۷	۶۰.۱	۳۴.۶
خراسان رضوی	مشهد	۴۰۷۴۵	۵۹.۶	۳۶.۲
خراسان رضوی	سبزوار	۴۰۷۴۳	۵۷.۶	۳۶.۲
خراسان رضوی	سبزوار (فروندگاه)	۸۸۱۲۲	۵۷.۶	۳۶.۲
خراسان رضوی	سرخس	۴۰۷۴۱	۶۱.۱	۳۶.۵
خراسان رضوی	تایباد	۹۹۴۳۴	۶۰.۸	۳۴.۸
خراسان رضوی	تریت حیدریه	۴۰۷۶۲	۵۹.۲	۳۵.۳
خراسان رضوی	تریت جام	۴۰۸۰۶	۶۰.۶	۳۵.۳

به منظور پایش رخداد گردوغبار در مطالعه موردی (۱۹ژوئیه و ۵ اوت ۲۰۲۳)، از محصولات سنجنده^۱ AIRS برای مشاهده چشمی گردوغبار و سنجنده^۲ MODIS برای مشاهده پراکنش عمق نوری هواویزها (AOD) از ماهواره Meteosat尘 RGB از مطالعه AQUA استفاده شد. همچنین، از تصاویر تصویر زملن واقعی برای درجه برای آشکارسازی رخدادهای گردوغبار استفاده شد. برای تحلیل همیدیدی رخدادهای گردوغبار نیز داده‌های باز تحلیل شده ERA5 پایگاه داده‌های^۳ ECMWF (CDS, 2017) با تفکیک ۰/۲۵ به صورت ساعتی در محدوده جغرافیایی ۴۵ تا ۷۰ درجه شرقی و ۲۵ تا ۴۵ درجه شمالی استخراج شد. این داده‌ها شامل میانگین فشار سطح دریا، باد ۱۰ متری، ارتفاع ژئوپتانسیلی تراز ۸۵۰ و ۵۰۰ هکتوپاسکال، باد ترازهای ۵۰۰، ۸۵۰ و ۲۰۰ هکتوپاسکال هستند که برای ساعت ۱۲:۰۰ روزهای گردوغباری تحلیل شده‌اند.

روش انجام پژوهش

هدف اصلی این پژوهش، بررسی تغییرات طوفان‌های گردوغبار با منشاً خارجی به تفکیک تغییرات مکانی و تغییرات زمانی است. برای این منظور، روند زمانی و مکانی طوفان‌ها مشخص و بر اساس بیشترین و کمترین طول زمانی وقوع آن و نیز مکان‌های تحت تأثیر طوفان‌های رخداده با منشاً خارجی موردنبررسی و تحلیل قرارگرفته است. در پایان، نتایج در قالب نقشه‌های پهنه‌بندی تغییرات زمانی (ماهانه و فصلی) و مکانی شاخص طوفان گردوغبار در نیمه شرقی کشور ارائه شده است.

به منظور مطالعه بسامد و شدت پدیده گردوغبار، از شاخص طوفان‌های گردوغبار (DSI) استفاده شده است (مکتاینس و تیوز، ۲۰۰۷). رابطه DSI از دهه ۹۰ میلادی برای تعیین شدت و بسامد طوفان گردوغبار به کار گرفته شده است. این شاخص روشی مناسب برای پایش فرسایش بادی در مقیاس وسیع با استفاده از سوابق هواشناسی است که نمایه‌ای از بسامد و شدت طوفان گردوغبار در منطقه را محاسبه می‌کند (ولی و همکاران، ۱۳۹۶؛ لونگسین و همکاران، ۲۰۱۴). این شاخص ترکیبی از سه نمایه روزهای طوفانی با گردوغبار محلی (LDE^۴)، روزهای طوفانی با گردوغبار متوسط (MDS^۵) و روزهای طوفانی با گردوغبار شدید (SDS) است که بر مبنای تعداد دفعات ثبت کدهای پدیده گردوغبار در ایستگاه‌های همیدیدی محاسبه می‌شوند. با توجه به اینکه در محاسبه DSI از تمام کدهای تعریف شده توسط سازمان جهانی هواشناسی مرتبط با پدیده گردوغبار (۷۹ تا ۳۰، ۳۵ و ۹۸) استفاده شده است و همچنین، با درنظر گرفتن هر دو مورد گردوغبار با منشاً محلی و منشاء فرامحلی در این شاخص، می‌توان گفت DSI نمایه‌ای جامع از روند تغییرات گردوغبار را در منطقه به دنبال دارد. مقادیر نمایه‌های موجود بر اساس کدهای گزارش شده از محل ایستگاه‌های همیدیدی منتخب منطقه موردمطالعه بر اساس تعاریف زیر استخراج و محاسبه شده است:

SDS: روزهای طوفانی با گردوغبار شدید، مجموع مشاهدات کدهای گردوغبار حداکثر روزانه کدهای ۳۳-۳۵
MDS: روزهای طوفانی با گردوغبار متوسط، مجموع مشاهدات کدهای گردوغبار حداکثر روزانه کدهای ۳۰، ۳۲ و ۹۸

¹ Atmospheric Infrared Sounder

² Moderate resolution Imaging Spectroradiometer

³ European Centre for Medium-Range Weather Forecasts

⁴ Local Dust Events

⁵ Moderate Dust Storms

LDE: روزهای با گردوغبار محلی، مجموع مشاهدات کدهای گردوغبار حداکثر روزانه کدهای ۰۷ و ۹

درنهایت برای محاسبه DSI از رابطه ذیل استفاده به عمل آمده است:

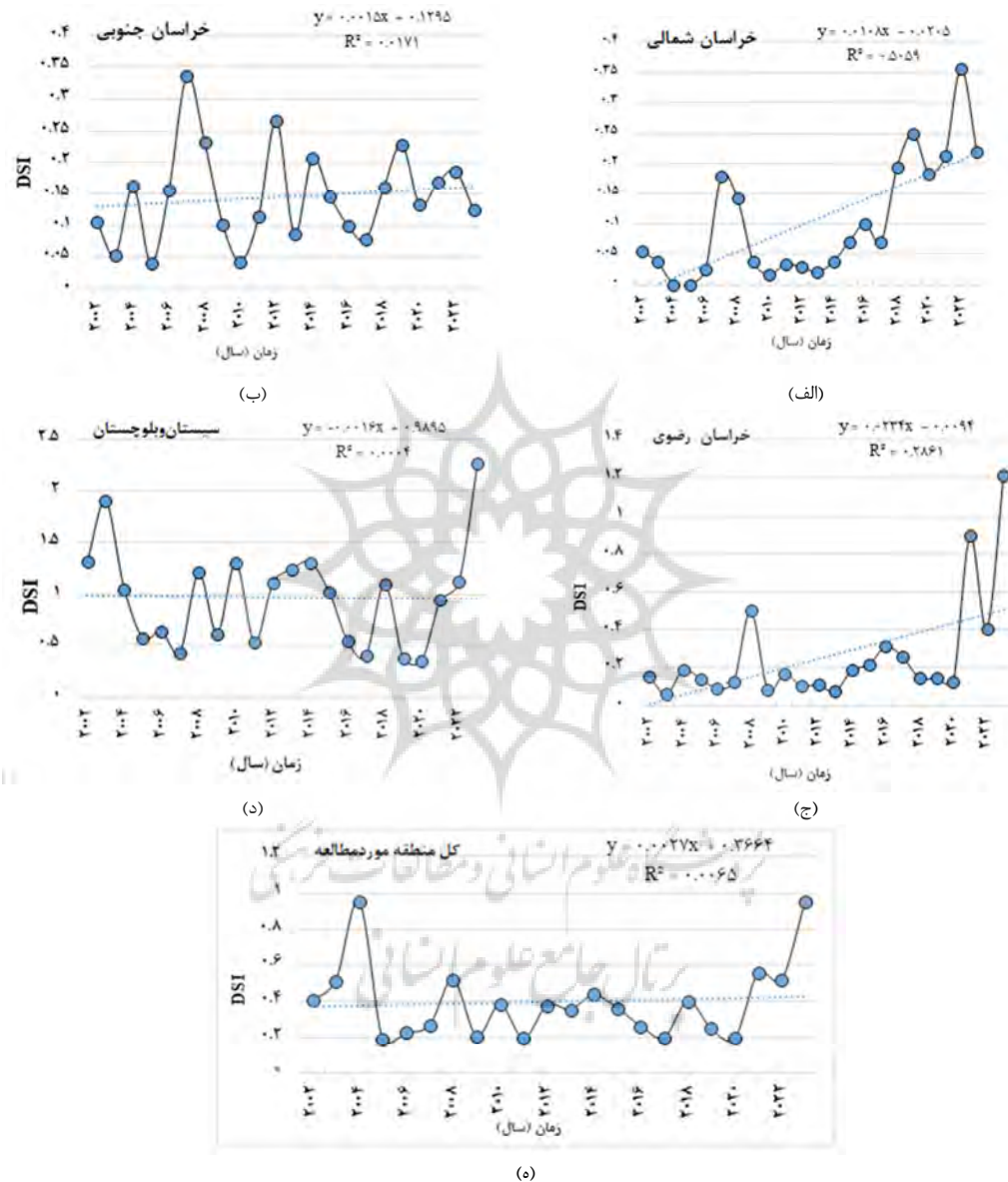
$$DSI = \sum_{i=1}^n [(5 \times SDS) + MDS + (0.05 \times LDE)] \quad (1)$$

که در آن DSI شاخص طوفان گردوغبار در n ایستگاه همدیدی منتخب است که در آن‌ها رویداد گردوغبار در یک بازه زمانی مشخص ضبط و مشاهده شده است. مدت زمان موردنظر یک دوره معمول، یک سال است؛ اما می‌تواند چند ماه در یک سال هم باشد. در این مطالعه مقدار DSI برای ایستگاه‌های مختلف در دوره زمانی موردمطالعه به صورت ماهانه و فصلی محاسبه شده و درنهایت کل مقدار شاخص برای محدوده موردمطالعه نیز از مجموع شاخص‌های برآوردشده به صورت سالانه محاسبه شد. DSI با درنظرگرفتن هر دو مورد گردوغبارهای محلی و با منشاء فرامرزی، نمایه‌های جامع از روند تغییرات را در منطقه بدبندی دارد. در ادامه، دو رخداد گردوغبار در تاریخ ۱۹ ژوئیه و ۵ اوت سال ۲۰۲۳ مورد بررسی قرار گرفت. الگوهای همدیدی از روز قبل تا بعد از وقوع طوفان گردوغبار تحلیل شده است.

نتایج و بحث

سری زمانی تغییرات DSI در استان‌های واقع در نیمه شرقی کشور (خراسان شمالی، خراسان جنوبی، خراسان رضوی و سیستان و بلوچستان) طی دوره آماری ۲۰۰۲ تا ۲۰۲۳ در شکل ۲ نشان داده شده است. روند تغییرات بلندمدت DSI برای هر استان با آزمون من - کنдал مورد ارزیابی قرار گرفت. نتایج حاکی از آن است که روند تغییرات سالانه ایستگاه‌های منتخب در استان خراسان شمالی از روند افزایشی با شبیه مثبت برخوردار است. با توجه به مقدار P-Value محاسبه شده از آزمون من - کنдал، روند افزایشی در این ایستگاه در سطح ۰/۰۵ از نظر آماری معنی‌دار بود ($P\text{-Value}=0/000254$). در استان خراسان جنوبی نیز روند افزایشی بلندمدت DSI را مشاهده می‌کنیم؛ اما با توجه به اینکه از نظر آماری معنی‌دار نیست ($P\text{-Value}=0/214898$)، این روند افزایشی تصادفی بوده و در برخی سال‌ها روند کاهش آن نیز مشاهده شده است. شبیه این تغییرات در استان خراسان جنوبی نسبت به استان خراسان شمالی کمتر است. مقدار DSI در استان خراسان رضوی نشان داد که این شاخص طی دوره آماری موردمطالعه افزایشی بوده و در سال‌های اخیر افزایش چشمگیری داشته که با توجه به آزمون من - کنдал از نظر آماری معنی‌دار است ($P\text{-Value}=0/012923$). نتایج بررسی روند تغییرات DSI در سیستان و بلوچستان روند معنی‌دار نشان نداد ($P\text{-Value}=0/18344$). این تغییرات تا سال ۲۰۲۰ دارای نوسان و فراز و نشیب بوده و پس از آن تا سال ۲۰۲۳ با شبیه تندی رو به افزایش بوده است. بررسی‌ها نشان داد که مقادیر این شاخص در استان سیستان و بلوچستان نسبت به سایر استان‌ها بزرگ‌تر بوده است. همچنین، در سال‌های اخیر در دو استان سیستان و بلوچستان و خراسان رضوی افزایش یافته است. علاوه بر این، از مجموع بررسی نتایج تمام نمودارها و نیز محاسبه شاخص در کل منطقه

موردمطالعه، مشخص شد که این شاخص با وجود اینکه روند افزایشی داشته، اما با توجه به آزمون من - کنдал از نظر آماری معنی‌دار نبوده است ($P\text{-Value} = 0.388980$).

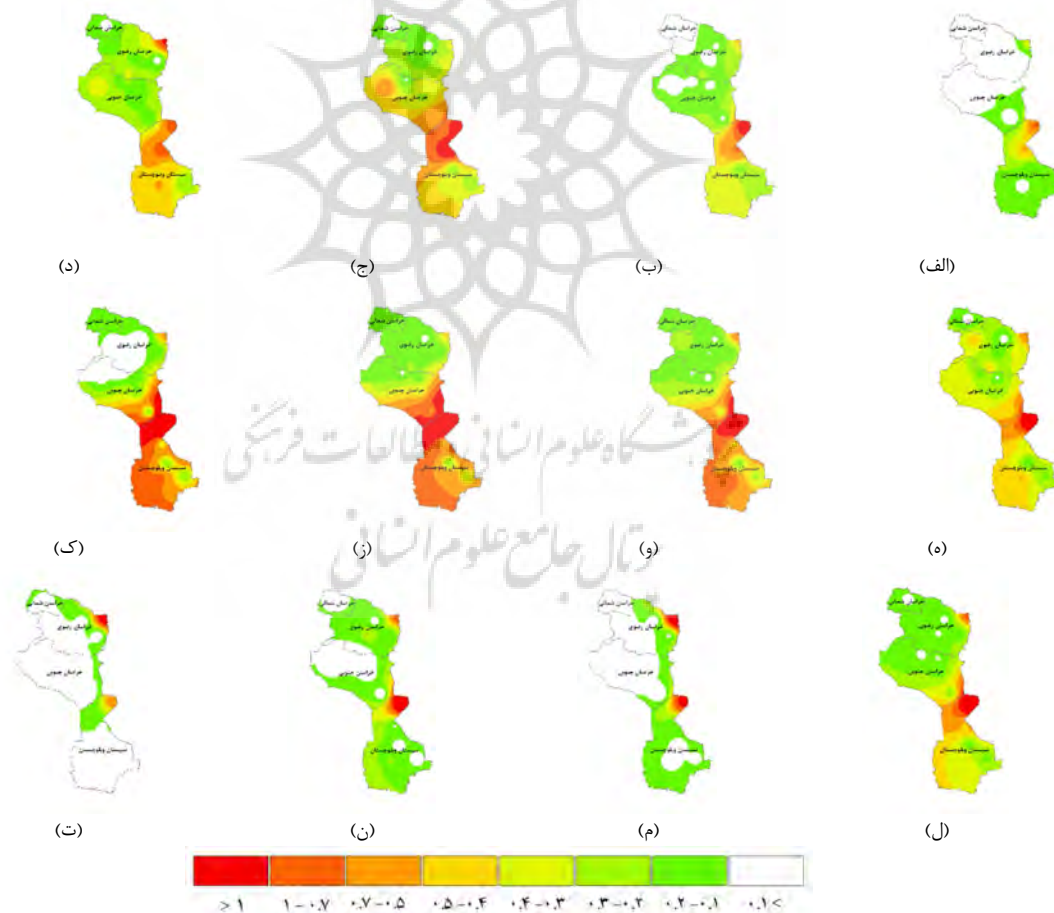


شکل ۱: میانگین روند تغییرات زمانی DSI در استان‌های (الف) خراسان شمالی، (ب) خراسان جنوبی، (ج) خراسان رضوی، (د) سیستان و بلوچستان و (ه) کل منطقه طی دوره آماری ۲۰۰۲ تا ۲۰۲۳ (منبع: نویسنده‌گان).

نقشه‌های پهن‌بندی ماهانه DSI در نیمه شرقی کشور طی دوره آماری ۲۰۰۲ تا ۲۰۲۳ با استفاده از روش درون‌یابی^۱ به دست آمد (شکل ۳). مطابق شکل ۳ (الف) در ماه ژانویه DSI از شمال شرقی به جنوب شرقی افزایش یافته

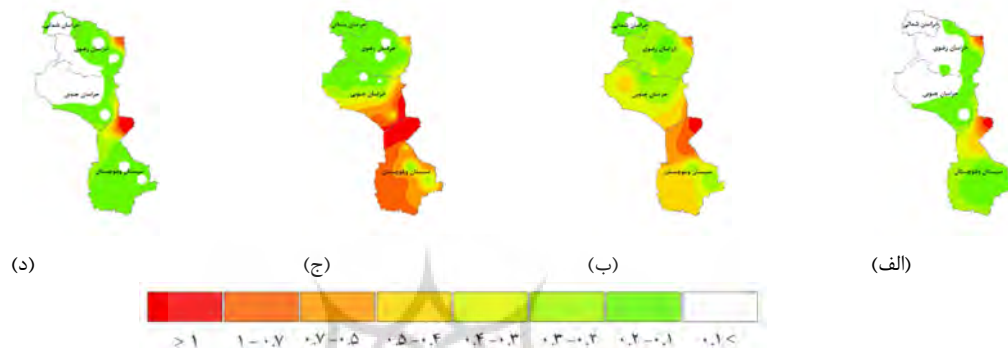
^۱ Inverse distance weighting

است. همچنین، می‌توان نتیجه گرفت در شمال شرقی استان سیستان و بلوچستان فراوانی و شدت رخدادهای گردوغبار به مراتب بیشتر از سایر نقاط بوده است. در ماه فوریه، شدت DSI نسبت به ماه ژانویه در استان‌های خراسان شمالی و خراسان رضوی افزایش یافته است. این افزایش در شمال شرقی استان سیستان و بلوچستان نسبت به ماه قبل هم مشاهده می‌شود. پنهانه‌بندی DSI در ماه مارس نشان داد که این شاخص در نیمه جنوبی خراسان جنوبی و بخش‌های شمالی استان سیستان و بلوچستان به بیشینه مقدار خود می‌رسد. در ماه آوریل نسبت به ماه‌های قبل DSI در شهرستان سرخس افزایش قابل توجهی داشته است. در ماه مه هم الگویی مشابه با ماه قبل مشاهده می‌شود. با شروع فصل تابستان در ماه‌های ژوئن، ژوئیه و اوت بیشترین مقادیر این شاخص در استان‌های سیستان و بلوچستان و خراسان جنوبی مشاهده شد. استان‌های خراسان رضوی و خراسان شمالی به ترتیب در اولویت‌های بعدی قرار دارند. روند کاهشی DSI در نیمه شرقی کشور در ماه‌های سپتامبر تا دسامبر رخ داده است.. با این وجود، در کل ماه‌های سال طی دوره آماری بلندمدت بیشترین مقدار این شاخص در زابل و سرخس مشاهده شد.



شکل ۲: توزیع فضایی ماهانه DSI در نیمه شرقی کشور (الف) ژانویه، (ب) فوریه، (ج) مارس، (د) آوریل، (ه) مه، (و) ژوئن، (ز) ژوئیه، (ک) اوت، (ل) سپتامبر، (م) اکتبر، (ن) نومبر، (ت) دسامبر طی دوره آماری ۲۰۰۲ تا ۲۰۲۳ (منبع: نویسنده‌گان).

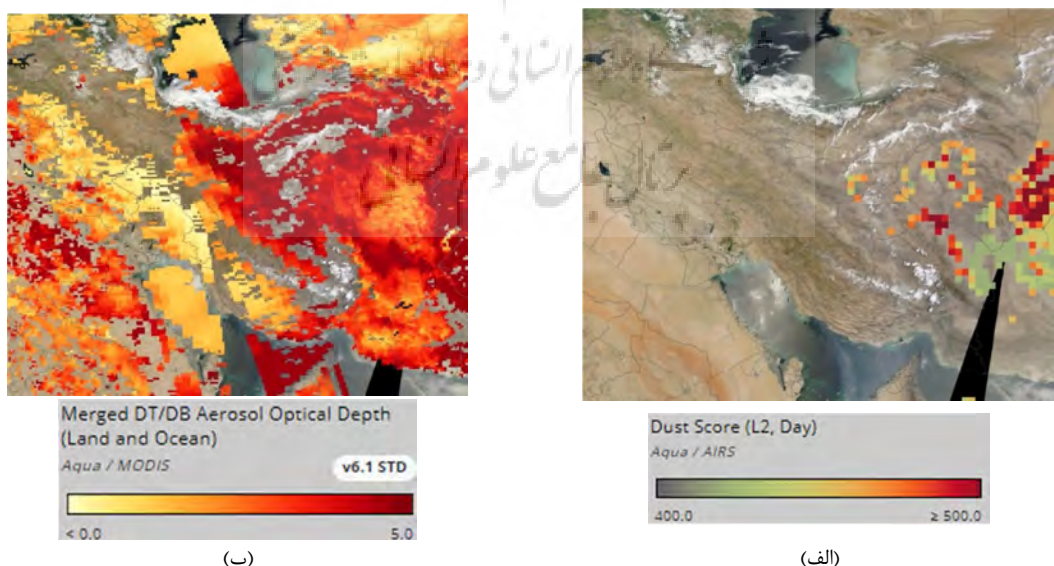
شکل ۴ توزیع فضایی DSI فصلی را نشان می‌دهد. شدت شاخص در فصل تابستان نسبت به فصل‌های دیگر به بیشینه مقدار خود رسیده است. این شاخص در فصل‌های پاییز و بهار در نیمه غربی استان‌های خراسان رضوی و خراسان جنوبی و بخش‌های زیادی از خراسان شمالی کمترین مقدار را دارد. بهطورکلی، پهنگندی فصلی DSI نشان داد که از بخش‌های شرقی به سمت جنوب شرقی منطقه موردمطالعه برشدت گردوغبار افزوده می‌شود.



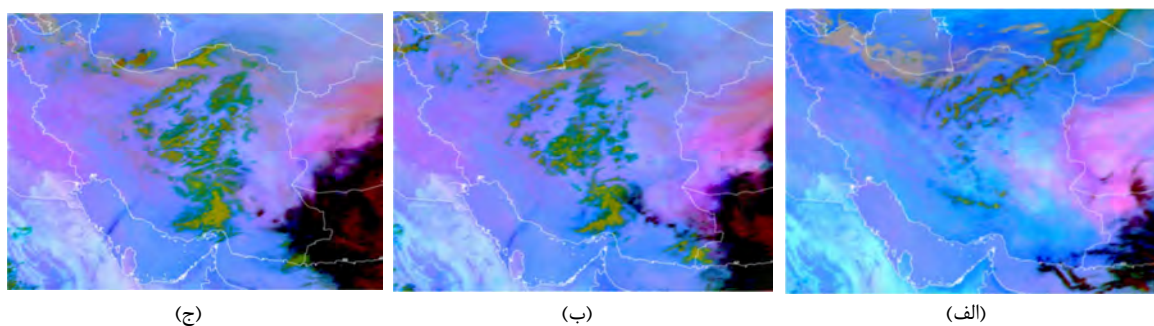
شکل ۳: توزیع فضایی DSI در نیمه شرقی کشور (الف) زمستان، (ب) بهار، (ج) تابستان، (د) پاییز طی دوره آماری ۲۰۰۲ تا ۲۰۲۳ (منبع: نویسندهان).

مطالعه موردی: ۱۹ ژوئیه ۲۰۲۳

تصویر ماهواره Aqua مربوط به Dust Score –Day و عمق نوری هواویزها برای روز ۱۹ ژوئیه در شکل ۵ نشان داده شده است. همچنین، تصویر زمان واقعی برای Dust RGB از ماهواره سری Meteosat صفر درجه برای روز ۱۹ ژوئیه در ساعت UTC ۰۶، ۱۸ و ۲۱ در شکل ۶ ارائه شده است. افزایش مقادیر گردوغبار در نواحی شرقی ایران و مرز افغانستان به خوبی مشاهده می‌شود.

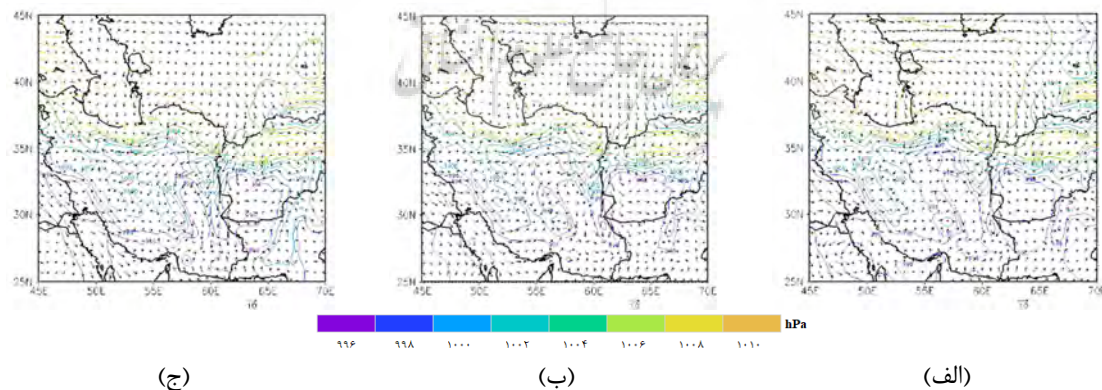


شکل ۴: تصویر ماهواره Aqua مربوط به (الف) Dust Score –Day و (ب) عمق نوری هواویزها برای روز ۱۹ ژوئیه ۲۰۲۳ ساعت ۰۰:۰۰ UTC (منبع: <https://worldview.earthdata.nasa.gov/>).



شکل ۵: تصویر زمان واقعی برای Dust RGB از ماهواره سری Meteosat صفر درجه برای روز ۱۹ ژوئیه ۲۰۲۳ در ساعت‌های (الف) UTC ۰۶:۰۰، (ب) UTC ۱۸:۰۰ و (ج) UTC ۲۱:۰۰. نواحی صورتی نشان‌دهنده حضور گردوغبار است (منبع: <https://view.eumetsat.int/>).

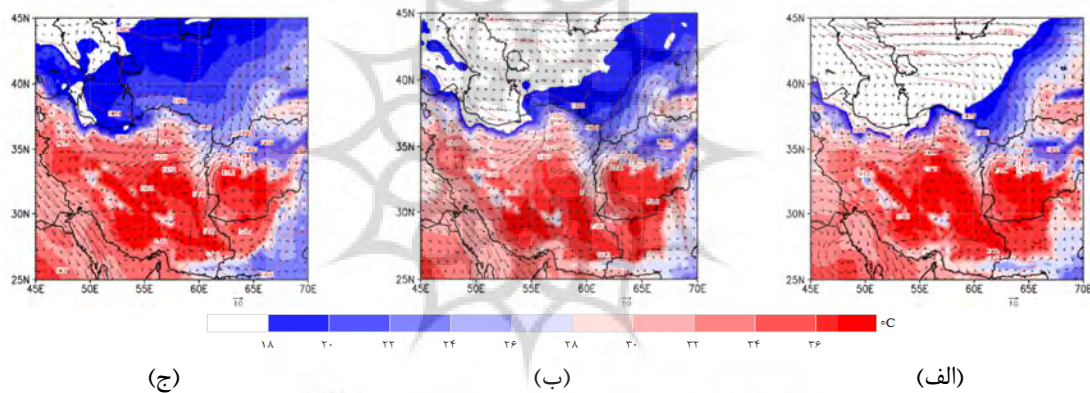
الگوی فشار سطح دریا و بردارهای باد ۱۰ متری در روز ۱۸ تا ۲۰ ژوئیه ۲۰۲۳ در شکل ۷ نشان داده است. حضور مرکز کم‌فشار در جنوب غرب افغانستان و جنوب شرق و بدخشی نواحی مرکزی ایران که بخشی از کم‌فشار پاکستان است، در فصل گرم در جنوب آسیا شکل می‌گیرد (راشکی و همکاران، ۲۰۱۲؛ خسروی و همکاران، ۱۳۹۵) همزمان با نفوذ زبانه پرفشار از شمال شرقی کشور که در امتداد مرکز پرفشار مستقر در جنوب شرقی خزر و ترکمنستان است (مفیدی و زرین، ۱۳۹۱)، سبب ایجاد شیوه‌های فشاری نسبتاً قوی روز مرز ایران و افغانستان شده است. بنابراین، جریان‌های شمالی از شمال شرقی وارد ایران شده و در نواحی جنوبی خراسان رضوی با توجه به ناهمواری‌های این مناطق به سمت غرب منحرف شده است. شاخه دیگری از این جریان به صورت کانالیزه شده به سمت شرق منحرف شده و به صورت بادهای شمال غربی بر روی سیستان می‌وزد که رودباد تراز پایین^۱ را (علیزاده چوبی و همکاران، ۲۰۱۴) در این مناطق شکل می‌دهد. افزایش بادهای سطحی در نواحی مرزی ایران و افغانستان چشممه‌های گردوغبار واقع در این نواحی را فعال کرده و سبب گسیل گردوغبار و انتقال آن شده است. این الگو با مطالعات انجام شده توسط کرمی و همکاران (۲۰۲۱)، راشکی و همکاران (۲۰۱۲) و کاسکائوتیس و همکاران (۲۰۱۵) همسو است.



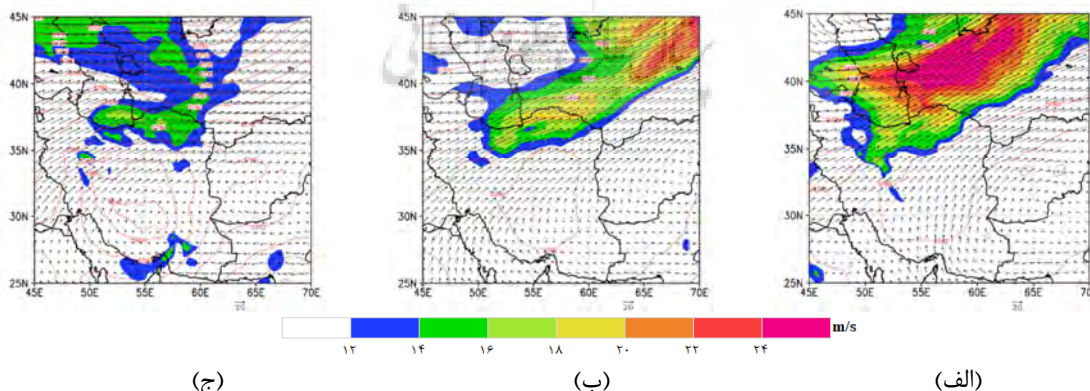
شکل ۶: الگوی میانگین فشار سطح دریا و بردارهای باد ۱۰ متری در روز (الف) ۱۸، (ب) ۱۹ و (ج) ۲۰ ژوئیه ۲۰۲۳ ساعت UTC ۱۲:۰۰ (منبع: نویسنده‌گان).

¹ Low Level Jet

در شکل ۸ الگوی ارتفاع ژئوپتانسیلی، دما و بردار باد در تراز ۸۵۰ hPa برای روزهای ۱۸-۲۰ ژوئیه ۲۰۲۳ ساعت ۱۲:۰۰ ارائه شده است. با استقرار یک مرکز کم ارتفاع در غرب افغانستان همراه با افزایش دما و نیز ورود یک پشتہ ارتفاعی از نواحی شمال شرقی و قرار گرفتن آن در نوار شرقی کشور، یک شیوه فشاری نسبتاً قوی در این نواحی شکل گرفته که طی روزهای ۱۸-۲۰ تقویت شده است. بنابراین، با توجه به موقعیت محور پشتہ که از خراسان رضوی تا جنوبی کشیده شده است و سبب تقویت الگوهای سطح زمین شده که درنتیجه افزایش تندی بادهای شمالی و شمال شرقی سبب فعال شدن چشمehهای گردوغبار فرامرزی و داخلی شده است. با شرقی شدن جهت باد، بهویژه در نواحی جنوبی استان خراسان رضوی که منطبق با چشمehهای گردوغبار در این منطقه است، رخداد گردوغبار در طی این روزها به-وقوع پیوسته است. الگوهای ارتفاع ژئوپتانسیلی در تراز ۵۰۰ hPa نیز (شکل ۹) حاکمیت پرفشار در بیشتر نواحی موردمطالعه را نشان می‌دهد. همچنین، با توجه به موقعیت روبداد جنب حاره در تراز ۲۰۰ hPa کشیده شده در مناطق شمال شرقی ایران تا عرضهای شمالی و قرارگیری منطقه موردمطالعه در بخش جنوبی ورودی روبداد، جریان‌ها در ترازهای زیرین در این نواحی تقویت و شرایط مناسب برای گسیل و انتقال گردوغبار فراهم شده است.



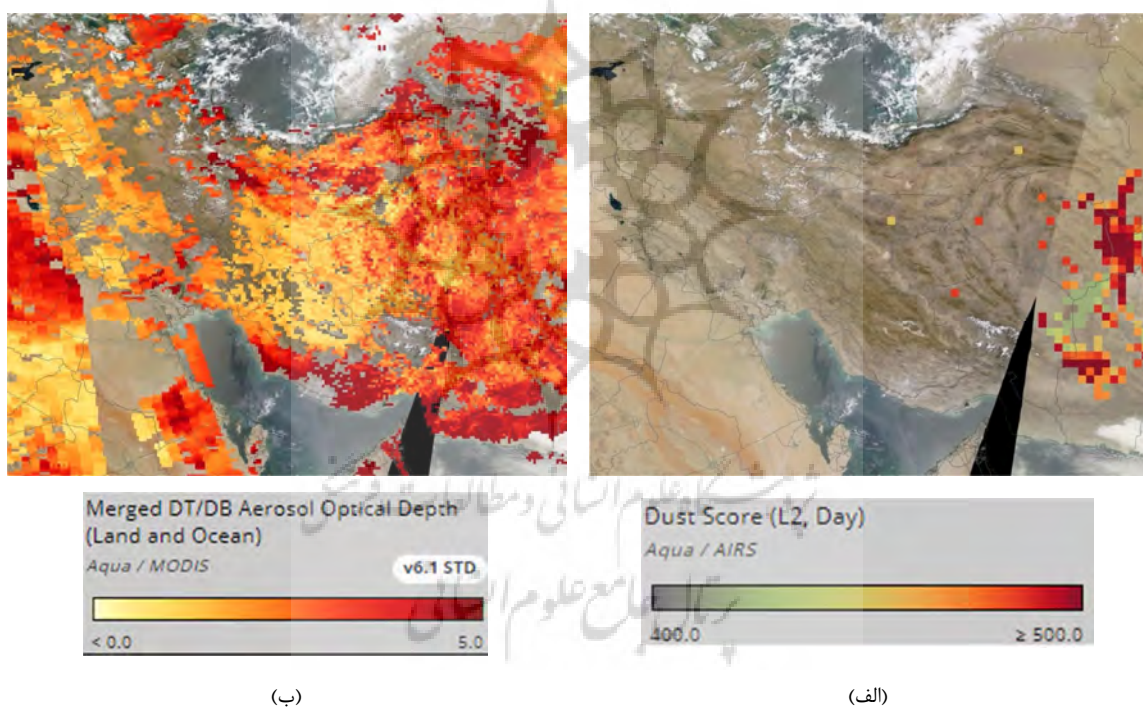
شکل ۷: الگوی ارتفاع ژئوپتانسیلی (خطوط سیاه)، دما (نواحی رنگی) و بردار باد (بردارهای آبی) در تراز ۸۵۰ hPa برای روز (الف) ۱۸، (ب) ۱۹ و (ج) ۲۰ ژوئیه ۲۰۲۳ ساعت ۱۲:۰۰ UTC (منبع: نویسندهان).



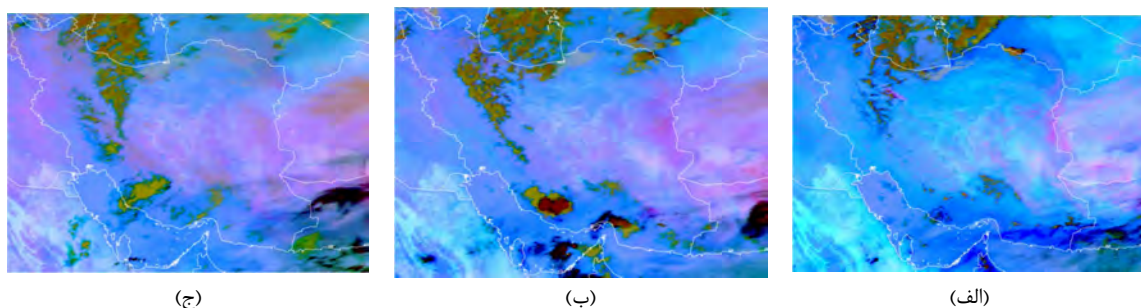
شکل ۸: الگوی ارتفاع ژئوپتانسیلی (خطوط نقطه‌چین قرمز) در تراز ۵۰۰ hPa، تندی باد (نواحی رنگی) و بردار باد (بردارهای سیاه) در تراز ۲۰۰ hPa برای روز (الف) ۱۸، (ب) ۱۹ و (ج) ۲۰ ژوئیه ۲۰۲۳ ساعت ۱۲:۰۰ UTC (منبع: نویسندهان).

مطالعه موردي: ۵ اوت ۲۰۲۳

تصویر ماهواره Aqua مربوط به Dust Score –Day و عمق نوری ذرات برای روز ۵ اوت در شکل ۱۰ نشان داده شده است. همچنین، تصویر زمان واقعی برای Dust RGB از ماهواره سری Meteosat صفر درجه برای روز ۵ اوت در ساعت UTC ۰۶، ۱۸ و ۲۱ در شکل ۱۱ ارائه شده است. فعال شدن چشممه‌های گردوغبار در مرزهای شرقی ایران و همچنین جنوب خراسان رضوی همراه با افزایش مقدار عمق نوری هواویزها به خوبی در تصاویر ماهواره‌ای قابل مشاهده است. تصاویر ماهواره سری Meteosat صفر درجه نیز گسیل و انتقال گردوغبار در روز ۵ اوت طی ساعت ۹:۰۰ تا ۲۱:۰۰ را از مرزهای شرقی ایران به سمت استان‌های نیمه شرقی کشور نشان داده است.

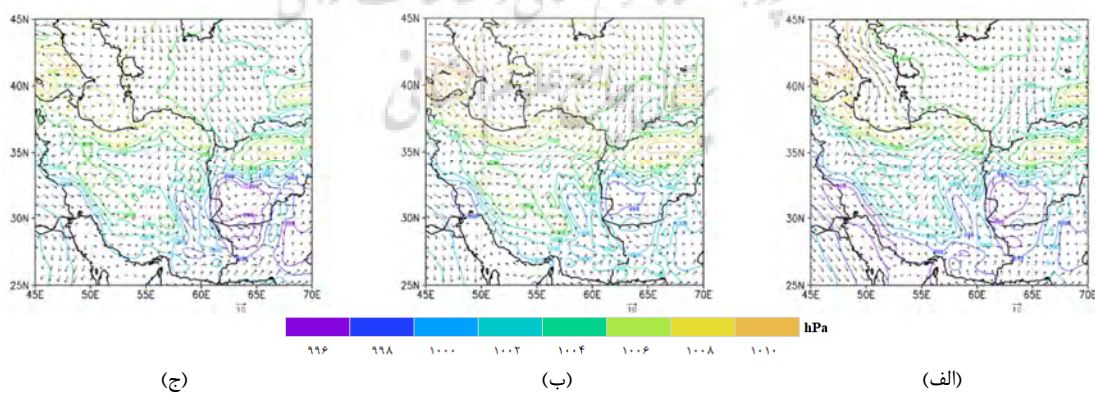


شکل ۹: تصویر ماهواره Aqua مربوط به (الف) Dust Score –Day و (ب) عمق نوری هواویزها برای روز ۵ اوت ۲۰۲۳ ساعت ۰۰:۰۰ UTC .
منبع: <https://worldview.earthdata.nasa.gov/>



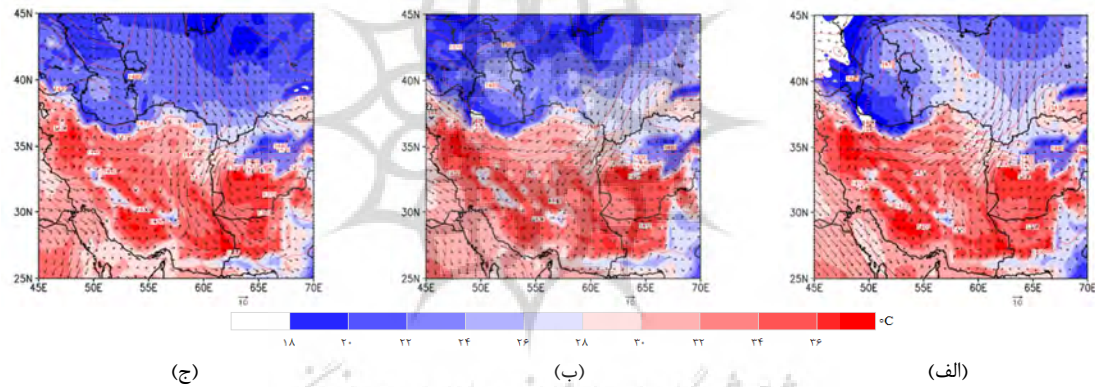
شکل ۱۰: تصویر زمان واقعی برای Dust RGB از ماهواره سری Meteosat صفر درجه برای روز ۵ اوت ۲۰۲۳ در ساعت (الف) ۰۹:۰۰ UTC، (ب) ۱۲:۰۰ UTC و (ج) ۱۵:۰۰ UTC، نواحی صورتی نشان‌دهنده حضور گردوغبار است (منبع: <https://view.eumetsat.int/>).

الگوی فشار سطح دریا و بردارهای باد ۱۰ متری در روز ۴-۶ اوت ۲۰۲۳ نشان داده است. شکل‌گیری و تقویت مراکز کم‌فشار در جنوب غربی افغانستان و جنوب شرقی ایران که در امتداد کم‌فشار پاکستان (خسروی و همکاران، ۱۳۹۵) هستند، همزمان با استقرار مراکز پرفشار در شمال افغانستان و شمال شرقی ایران شرایط را برای ایجاد شیوه فشاری و تقویت بادهای سطحی بهصورت بادهای شمال شرقی و شمالی نسبتاً قوی در مرز ایران و افغانستان فراهم کرده است. این جریان‌ها با توجه به موقعیت ناهمواری و وضعیت زمین‌شناختی در جنوب استان خراسان رضوی تا خراسان جنوبی در این مناطق شرقی شده و گسیل و انتقال گردوغبار را از چشمه‌های فعال در مرز ایران و افغانستان به‌همراه داشته است. این جریان‌ها در مسیر خود به سمت جنوب نیز با توجه به وضعیت زمین‌شناختی کانالیزه شده و بهصورت بادهای شمال غربی وارد سیستان شده (عالی و همکاران، ۲۰۱۱؛ راشکی و همکاران، ۲۰۱۲؛ ۲۰۱۳b) و می‌تواند با تقویت بادهای سطحی (رودباد تراز پایین) انتقال گردوغبار (راشکی و همکاران، ۲۰۱۲) به این نواحی را نیز به‌همراه داشته باشد.

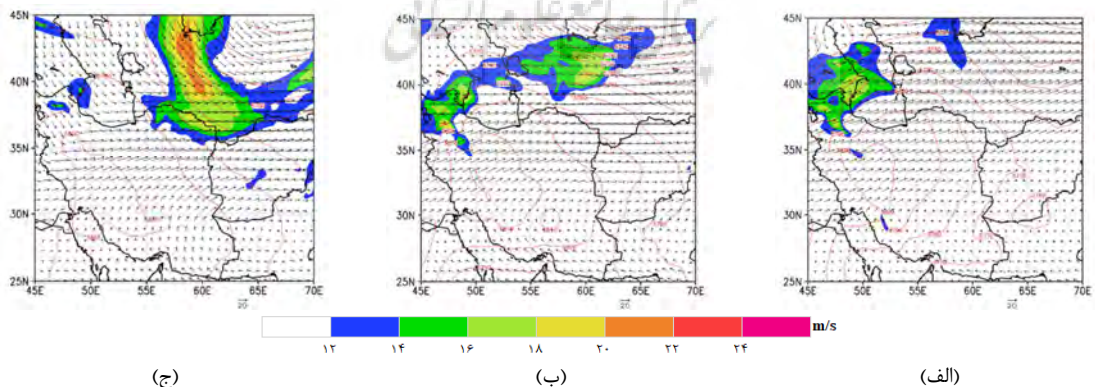


شکل ۱۱: الگوی میانگین فشار سطح دریا و بردارهای باد ۱۰ متری در روز (الف) ۴، (ب) ۵ و (ج) ۶ اوت ۲۰۲۳ ساعت ۱۲:۰۰ UTC (منبع: نویسنده‌گان).

در شکل ۱۳ الگوی ارتفاع ژئوپتانسیلی، دما و بردار باد در تراز ۸۵۰ برای روزهای ۴-۶ اوت ۲۰۲۳ ساعت ۱۲:۰۰ ارائه شده است. با توجه به افزایش دما در نواحی جنوب غربی افغانستان، شمال غربی پاکستان و جنوب شرقی ایران طی روزهای ۴-۶، مرکز کم ارتفاع مستقر در این نواحی تقویت شده است. همزمان با آن حضور یک مرکز پرارتفاع در نیمه شمالی افغانستان سبب ریزش هوای نسبتاً خنک از عرض‌های شمالی به روی این مناطق و مرز ایران و افغانستان شده است که سبب افزایش ارتفاع ژئوپتانسیلی در این نواحی شده است. این وضعیت شرایط را برای تقویت بادهای شمالی و شمال شرقی فراهم کرده که با تقویت بادهای سطحی، سبب فعل شدن چشم‌های گردوغبار در نواحی مرزی ایران و افغانستان شده است. حاکمیت بادهای شمال شرقی در استان خراسان رضوی سبب ورود مقادیر قابل توجهی به این استان، بهویژه در بخش‌های شرقی و جنوبی آن شده است. در تراز ۵۰۰ هکتوپاسکال (شکل ۱۴) نیز استقرار مرکز پرارتفاع جنوب حاره روی ایران به خوبی مشاهده می‌شود که با کشیده شدن زبانهای آن به سمت شرق طی روز ۵ اوت سبب تقویت الگوهای ترازهای زیرین جو شده و شرایط برای گسل و انتقال گردوغبار در نواحی مستعد فراهم شده است.



شکل ۱۲: الگوی ارتفاع ژئوپتانسیلی (خطوط نقطه‌چین قرمز)، دما (نواحی رنگی) و بردار باد (بردارهای آبی) در تراز ۸۵۰ hPa روز (الف)، (ب) ۵ و (ج) ۶ اوت ۲۰۲۳ ساعت ۱۲:۰۰ UTC (منبع: نویسنده‌گان).



شکل ۱۳: الگوی ارتفاع ژئوپتانسیلی (خطوط نقطه‌چین قرمز) در تراز ۵۰۰ hPa، تندی باد (نواحی رنگی) و بردار باد (بردارهای سیاه) در تراز ۲۰۰ hPa برای روز (الف)، (ب) ۵ و (ج) ۶ اوت ۲۰۲۳ ساعت ۱۲:۰۰ UTC (منبع: نویسنده‌گان).

نتیجه‌گیری

کشور ایران بهدلیل قرار گرفتن در کمربند خشک و نیمه‌خشک در سال‌های اخیر در معرض طوفان‌های گردوغبار قرار گرفته است. از آنجاکه بررسی‌های پنهانی بهمنظور تعیین مناطق حساس و مستعد گردوغبار به شمار می‌رود، به عنوان روش تحقیق در این پژوهش انتخاب شد. به طور کلی، سری زمانی DSİ طی دوره آماری ۲۰۰۲ تا ۲۰۲۳ نشان‌دهنده روند افزایشی معنی‌داری در سه استان خراسان رضوی، خراسان جنوبی و خراسان شمالی است. در استان سیستان و بلوچستان شاهد تغییرات نامنظم‌تر و فاقد روند معنی‌دار بود که با مطالعات پیشین هماهنگ است (خدم و همکاران، ۱۳۹۸). از بین ایستگاه‌های مورد بررسی، ایستگاه‌های زابل و سرخس بیشترین مقدار شاخص طوفان گردوغبار را دارا هستند. نتایج به دست آمده نشان داد که تغییرات میانگین ماهانه DSİ در دوره ۲۱ ساله در ۸ ماه نخست سال ميلادي يعني ماههای زانويه تا اوت به طور کلی افزایشی است. پيشينه آن در ماه ژوئيه است. در ماههای بعد تا ماه دسامبر مقدار DSİ کاهشی است.

از نظر توزیع جغرافیایی DSİ در مناطق شرق و جنوب شرق مقادیر بالاتری را نشان می‌دهد و در نواحی شمال شرقی دارای کمترین مقدار است که با نتایج مطالعه یارمرادی و همکاران (۱۳۹۷) همسو است. یکی از دلایل ممکن برای کاهش مقدار DSİ می‌تواند نوع پوشش گیاهی و ناهمواری‌های آن باشد (تن، ۲۰۱۶)، اما در نقشه‌های میانگین فصلی کل دوره آماری از سال ۲۰۰۲ تا سال ۲۰۲۳ بیشینه مقادیر DSİ در بخش‌های شمال استان سیستان و بلوچستان به ترتیب در فصل تابستان و فصل بهار مشاهده می‌شود. در فصل پاییز نیز مقادیر بیشتری نسبت به فصل زمستان در سطح محدوده موردمطالعه محاسبه شده است. بررسی روند تغییرات این شاخص در شرق، شمال شرق و جنوب شرق کشور مشخص نمود علاوه بر قسمت‌های جنوب شرقی کشور، در سال‌های اخیر بخش‌های شرقی استان خراسان رضوی نیز درگیر این پدیده شده است. این نتایج با مطالعات آرا و همکاران (۱۴۰۲) و حسینی و همکاران (۱۳۹۸) همسو هستند.

در بررسی دو رخداد گردوغبار در نیمه شرقی ایران مشاهده شد با شکل‌گیری مراکز کم‌فشار در نواحی جنوب غرب افغانستان، شمال غرب پاکستان و شرق ایران که در امتداد کم‌فشار موسوم به کم‌فشار پاکستان هستند، همراه با نفوذ زبانه پرفشار از شمال شرق ایران شیو فشاری در این نواحی، به‌ویژه مرزهای ایران و افغانستان شکل‌گرفته که سبب تقویت جریان‌های شمالی و شمال شرقی نسبتاً قوی روی مرز ایران و افغانستان می‌شود. این جریان با توجه به ناهمواری و وضعیت زمین‌شناختی منطقه موردمطالعه به دو شاخه تقسیم می‌شود: شاخه اول با انحراف به سمت غرب به نواحی شرقی کشور وارد شده و استان‌های خراسان رضوی و جنوبی را تحت تأثیر قرار می‌دهد و شاخه دوم به سمت شرق منحرف شده و با کانالیزهشدن به صورت جریان جتی تراز پایین وارد سیستان می‌شود. وزش بادهای سطحی شدید روی نواحی مستعد در محدوده موردمطالعه مانند بستر خشک دریاچه هامون (علیزاده چوبی) و همکاران، ۲۰۱۴) سبب فعال شدن چشمه‌های گردوغبار شده و گسیل و انتقال آن به شهرهای مجاور را به همراه دارد. همچنین، با بررسی ترازهای میانی و فوقانی جو نیز مشاهده شد استقرار و تقویت الگوی پرارتفاع جنب حاره روی ایران و امتداد زبانه آن به سمت شرق و نیز استقرار رودباد در شمال شرقی ایران و عرض‌های بالاتر سبب تقویت جریان‌های سطحی شده و شرایط را برای گسیل و انتقال گردوغبار فراهم می‌نماید. نتایج به دست آمده با مطالعات

انجام شده توسط صحت و همکاران (۱۴۰۱) مطابقت دارد. نتایج این پژوهش می‌تواند در بحث مدیریت و آمادگی در برابر طوفان‌های گردوغبار مفید واقع شود.

منابع

- آراء، هایده؛ گوهری، زهرا؛ معماریان، هادی. (۱۴۰۲). پنهانه‌بندی خشکسالی با استفاده از شاخص‌های اقلیمی و روش‌های زمین‌آمار (مطالعه موردنی: دشت سرخس). شانزدهمین همایش ملی آبیاری و کاهش. کرمان، ایران. <https://civilica.com/doc/1804731/> (۱۳۹۶).
- اسمعیل نژاد، مرتضی؛ پودینه، محمد رضا. ارزیابی سازگاری با تغییرات اقلیمی در مناطق رostایی جنوب خراسان جنوبی. مجله مخاطرات محیط طبیعی، ۶ (۱۱)، ۸۵-۱۰۰. [doi: 10.22111/jneh.2017.3052](https://doi.org/10.22111/jneh.2017.3052)
- اصغری پوده، زهرا؛ شفیعی زاده، محمد؛ فاخران، سیما؛ گیلانی، علیرضا. (۱۳۹۴). ارزیابی و پنهانه‌بندی تغییرات مکانی - زمانی طوفان‌های گردوغبار با استفاده از شاخص DSI در استان خوزستان. دومین همایش ملی تغییرات اقلیم و مهندسی توسعه پایدار کشاورزی و منابع طبیعی، تهران، ایران. <https://civilica.com/doc/437359/>
- جنت رستمی، مجتبی؛ رحیمی، محمد؛ کابلی، سید حسن. (۱۴۰۰). تحلیل روند تغییرات شاخص گردوغبار و ارزیابی ارتباط آن با خشکسالی در دامنه جنوبی ایران، مطالعات جغرافیایی مناطق خشک، ۱۱ (۴۳)، ۱۹-۴۰. [doi: 10.22111/jneh.2022.41858.1885](https://doi.org/10.22111/jneh.2022.41858.1885)
- حسینی، احمد؛ جعفری زاده، علی. (۱۴۰۲). بررسی اثرات طوفان‌های گردوغباری حاصله از سرعت باد در مهاجرت جمعیت روستایی منطقه سیستان. مجله مخاطرات محیط طبیعی، ۱۲ (۳۶)، ۷۸-۶۱. [doi: 10.22111/jneh.2022.41858.1885](https://doi.org/10.22111/jneh.2022.41858.1885)
- حسینی، احمد؛ علیجانی، بهلول؛ واقعی، یدالله. (۱۳۹۸). پیش‌بینی احتمال روزهای گردوغبار در مناطق شرقی ایران با روش کریجینگ نشانگر فضایی - زمانی. مجله مخاطرات محیط طبیعی، ۸ (۲۰)، ۲۱۶-۱۹۷. [doi: 10.22111/jneh.2022.41858.1885](https://doi.org/10.22111/jneh.2022.41858.1885)
- خدمان، نوشین؛ تاجبخش، سحر؛ علی اکبری بیدختی، عباسعلی؛ صحت کاشانی، ساویز؛ رنجبر سعادت آبادی، عباس. (۱۳۹۸). اقلیم‌شناسی رخدادهای توفان گردوخاک در فصل تابستان در استان سیستان و بلوچستان در دوره ۳۰ ساله (۱۹۸۷-۲۰۱۶). مجله پژوهش‌های اقلیم‌شناسی، ۱۰ (۴۰)، ۸۱-۸۹.
- خرسروی، محمود؛ حمیدیان پور، محسن؛ کردی تمین، صالح. (۱۳۹۵). بررسی تغییرات زمانی و مکانی کم‌فشار پاکستان. مجله پژوهش‌های اقلیم‌شناسی، ۲۷، ۴۲-۲۵.
- رهنما، مهدی؛ صحت، ساویز؛ خدام، نوشین؛ کرمی، سارا؛ تاجبخش، سحر؛ رنجبر، عباس. (۱۴۰۰). تحلیل شاخص توفان گردوخاک (DSI)، بسامد رخدادهای گردوغبار و دید افقی در منطقه غرب آسیا. مجله پژوهش‌های اقلیم‌شناسی، ۱۲ (۴۷)، ۷۰-۵۷. [doi: 10.22059/iphgr.2012.24737](https://doi.org/10.22059/iphgr.2012.24737)
- شمسمی پور، علی؛ صفرزاد، طاهر. (۱۳۹۱). تحلیل ماهواره‌ای - همیدی‌پدیده‌ی گردوغبار (گردوغبار تیرماه ۱۳۸۸). مجله پژوهش‌های جغرافیای طبیعی، ۴۴ (۱)، ۱۲۶-۱۱۱.
- صحت کاشانی، ساویز؛ رهنما، مهدی؛ کرمی، سارا؛ رنجبر، عباس؛ خدام، نوشین. (۱۴۰۱). بررسی نقش پوشش گیاهی در شکل‌گیری گردوخاک جنوب شرق ایران. مجله نیوار، ۴۶ (۱۱۶)، ۱۰۰-۸۶.
- مفیدی، عباس؛ زرین، آذر. (۱۳۹۱). بررسی ماهیت، ساختار و وردایی زمانی گردش بزرگ مقیاس جو تابستانه بر روی جنوب غرب آسیا. مجله پژوهش‌های اقلیم‌شناسی، ۱۱ (۳)، ۴۰-۱۵.
- میری، عباس. (۱۳۹۹). تحلیل طوفان‌های گردوغبار سیستان با استفاده از شاخص‌های DDI و DSI و پارامترهای سرعت باد، دید افقی و غلظت PM10. مجله پژوهش‌های حفاظت آبخواک (علوم کشاورزی و منابع طبیعی)، ۲۷ (۱)، ۲۳-۱.
- ولی، عباسعلی؛ روستایی، فاطمه. (۱۳۹۶). بررسی روند فرسایش بادی در ایران مرکزی با استفاده از شاخص طوفان گردوغبار در پنجاه سال اخیر. نشریه علوم آب و خاک، ۲۱ (۴)، ۱۸۹-۲۰۰.

- یارمادی، زهرا؛ نصیری، بهروز؛ کرمپور، مصطفی؛ محمدی، غلامحسن. (۱۳۹۷). تحلیل و پنهان‌بندی طوفان‌های گردوبغار در شرق ایران. *نشریه مدیریت بیابان*, ۸۷ تا ۸۵، ۱۲(۶).
- Alam, K., Qureshi, S., Blaschke, T. (2011). Monitoring Spatiotemporal aerosol patterns over Pakistan based on MODIS, TOMS, and MISR satellite data and a HYSPLIT model. *Atmos Environ* 45, pp 4641–4651.
- Alizadeh-Choobari, O., Zawar-Reza, P., Sturman, A. (2014). The “wind of 120 days” and dust storm activity over the Sistan Basin. *Atmos. Res.* 143, pp 328–341.
- Albarakat, R., Lakshmi, V. (2019). Monitoring Dust Storms in Iraq Using Satellite Data. *Sensors*, 19(17), 3687. <https://doi.org/10.3390/s19173687>.
- Copernicus Climate Change Service (C3S) (2017). ERA5: Fifth generation of ECMWF atmospheric reanalyses of the global climate. Copernicus Climate Change Service Climate Data Store (CDS), date of access. <https://cds.climate.copernicus.eu/cdsapp#!/home>
- Ebrahimi-Khusfi, Z., Taghizadeh-Mehrjardi, R., Mirakbari, M., (2021). Evaluation of machine learning models for predicting the temporal variation of dust storm index in arid regions of Iran. *Atmospheric Pollution Research*, 12 (1), pp 134-147. <https://doi.org/10.1016/j.apr.2020.08.029>
- Furman, H. K. H. (2003). Dust storms in the Middle East: Sources of origin and their temporal characteristics. *Indoor and Built Environment*, 12(6), pp 419–426. <https://doi.org/10.1177/1420326X030371>
- Goudie, A.S. (2014). Desert Dust and Human Health Disorders. *Environment International*, 63, pp 101-113. <https://doi.org/10.1016/j.envint.2013.10.011>
- Kok, J. F., Adebiyi, A. A., Albani, S., Balkanski, Y., Checa-Garcia, R., Chin, M., Colarco, P. R., Hamilton, D. S., Huang, Y., Ito, A., Klose, M., Li, L., Mahowald, N. M., Miller, R. L., Obiso, V., Pérez García-Pando, C., Rocha-Lima, A., and Wan, J. S. (2021). Contribution of the world’s main dust source regions to the global cycle of desert dust, *Atmospheric Chemistry and Physics*, 21, 8169–8193, <https://doi.org/10.5194/acp-21-8169-2021>.
- Karami, S., Hoddein Hamzeh, N., Kaskaoutis, D.G., Rashki, A., Alam, K., Ramjbar, A. (2012). Numerical simulations of dust storms originated from dried lakes in central and southwest Asia: the case of the Aral Sea and Sistan basin. *Aeolian Research*, 50(1), pp 100679. doi.org/10.1016/j.aeolia.2021.100679.
- Kaskaoutis, D.G., Rashki, A., Housos, E.E., Mofidi, A., Goto, D., Bartzokas, A., Francois, P., Legrand, M., (2015). Meteorological aspects associated with dust storms in the Sistan region, southeastern Iran. *Clim. Dyn.* 45 (1–2), pp 407–424.
- Li, J., Wang, M.S., Lee, K.H., Nichol, J., Chan, P.W. (2020). Review of dust storm detection algorithms for multispectral satellite sensors. *Atmospheric Research*, 250, 105398. doi.org/10.1016/j.atmosres.2020.105398.
- McTainsh, G., and K., Tews (2007). Soil erosion by wind - Dust Storm Index (DSI): National Monitoring and Evaluation Framework, prepared for the National Land & Water Resources Audit, Canberra. 12, pp 29-40.
- Middleton, N. (2019). Variability and trends in dust storm frequency on decadal timescales: Climatic drivers and human impacts. *Geosciences*, 9(6), pp 261. <https://doi.org/10.3390/geosciences9060261>
- Miri, A.; Maleki, S., Middleton, N., (2021). An investigation into climatic and terrestrial drivers of dust storms in the Sistan region of Iran in the early twenty-first century. *Science of the Total Environment*, 757, 143952. <https://doi.org/10.1016/j.scitotenv.2020.143952>.
- O’Loingsigh, T., McTainsh, GH. Tews, EK. Strong, CL., Leys, JF., Shinkfield, P., Tapper, NJ. (2014b). The Dust Storm Index (DSI): a method for monitoring broad-scale wind erosion using meteorological records. *Aeolian Research*, 12, pp 29-40. <https://doi.org/10.1016/j.aeolia.2013.10.004>.
- Rayegani, B., Barati, S., Goshtasab, H., Gachpaz, S., Ramezani, J., Sarkheil, H., (2020). Sand and dust storm sources identification: A remote sensing approach. *Ecological Indicators*, 112, 106099. <https://doi.org/10.1016/j.ecolind.2020.106099>.
- Rashki A, Eriksson PG, de W. Rautenbach CJ, Kaskaoutis DG, Grote W, Dykstra J., (2013b) Assessment of chemical and mineralogical characteristics of airborne dust in the Sistan region, Iran. *Chemosphere* 90, pp 227–236.
- Rashki, A., Kaskaoutis, DG., de W. Rautenbach CJ., Eriksson PG, Giang M, Gupta P., (2012). Dust storms and their horizontal dust loading in the Sistan region, Iran. *Aeolian Res* 5, pp 51–62.
- Shao, Y., Dong, C.H. (2006). A review on East Asian dust storm climate, modeling and monitoring. *Global and Planetary Change*, 25(1-4), pp1-22. [doi:10.1016/j.gloplacha.2006.02.011](https://doi.org/10.1016/j.gloplacha.2006.02.011).
- Tan, M., Li, X., Xin, L. (2014). Intensity of dust storms in China from 1980 to 2007: A new definition. *Atmospheric Environment*, 85, pp 215–222. <https://doi.org/10.1016/j.atmosenv.2013.12.010>.
- Tan, M.: (2016). Exploring the relationship between vegetation and dust-storm intensity (DSI) in China. *J. Geogr. Sci.* 26, pp 387–396. <https://doi.org/10.1007/s11442-016-1275-2>.
- WorldBank, (2019). Sand and Dust Storms in the Middle East and North Africa Region – Sources, Costs, and Solutions, World Bank, <https://doi.org/10.1596/33036>.
- WMO, Annex II, (2019). Manual on Codes.

References

References (in Persian)

- Ara, H., Gohari, Z., Memarian, H. (2023). Drought zoning using climatic indicators and geostatistical methods (case study: Sarakhs Plain). The 16th National Conference on Irrigation and Evaporation Reduction papers, Kerman, Iran. [in Persian]
- Asghari Podeh, Z., Shafiee Zadeh, M., Fakheran, S., Gilani, Alireza. (2015). Evaluation and zoning of spatial-temporal changes of dust storms using DSİ in Khuzestan province. 2nd National conference on climate change and engineering sustainable agriculture and natural resources, Tehran, Iran. [in Persian]
- Esmaelnejad, M., Podineh, M.R. (2017). Evaluation of adaptation to climate change in rural areas south of South Khorasan. *Journal of Natural Environmental Hazards*, 6(11), 85-100. doi: [10.22111/jneh.2017.3052](https://doi.org/10.22111/jneh.2017.3052)[in Persian].
- Hosseini, A., & Jafarizadeh, A. (2023). Investigation of the effects of dust storms caused by wind speed on the migration of the rural population in the Sistan region. *Journal of Natural Environmental Hazards*, 12(36), 61-78. doi: [10.22111/jneh.2022.41858.1885](https://doi.org/10.22111/jneh.2022.41858.1885)[in Persian].
- Hosseini, A., Alijani, B., & Waghei, Y. (2019). Probability of SDS Days Prediction in Iran's Eastern Region Using Spatio-Temporal Indicator Kriging model. *Journal of Natural Environmental Hazards*, 8(20), 197-216. doi: [10.22111/jneh.2018.23205.1358](https://doi.org/10.22111/jneh.2018.23205.1358)[in Persian].
- Jannat rostami, M., rahimi, M., & kaboli, S. H. (2021). Analysis of Trend Dust Index Changes (DSI) and Evaluation of its Relationship with Drought in the Southern Slope of Alborz. *Journal of Arid Regions Geographic Studies*, 12(43), 19-40. [in Persian]
- Khoddam, N., Tajbakhsh, S., Beydokhti, A., Sehat, S., & Ranjbar, A. (2020). Dust Storm Climatology in Sistan and Baluchestan Province over 30 years (1987-2016). *Journal of Climate Research*, 1398(40), 81-89. [in Persian].
- Khosravi, M., Hamidianpour, M., & Kordi Tamin, S. (2016). A Study of Tempo Spatial Variation of Pakistan Low Pressure. *Journal of Climate Research*, 1395(27),(25-42)[in Persian].
- Miri, A., (2020). Dust storms analysis in the Sistan region using DDI and DSİ indices and wind speed, visibility, and PM10 parameters. *Journal of Water and Soil Conservation*, 27(1), 1-23. doi: 10.22069/jwsc.2020.16883.3225[in Persian].
- Mofidi, A., A. Zarrin. (2012). Investigating the Nature, Structure and Temporal Variation of Summertime Large-scale Atmospheric Circulation over Southwest Asia. *Journal of Climate Research*. 11: 15-40. [in Persian].
- Rahnama, M.,Y Sehatkashani, S., Khoddam, N., Karami, S., tajbakhsh, S., & Ranjbar, A. (2021). The analysis of the Dust Storm Index (DSI), Frequency of dust events, and horizontal visibility in the West Asian. *Journal of Climate Research*, 1400(47), 57-70. [in Persian]
- Sehat Kashani, S., Rahnama, M., Karami, S., Ranjbar, A., & Khoddam, N. (2022). Investigating the Wind Erosion Affecting the Activation of Dust Genesis over South-Eastern Iran. *Nivar*, 46(116-117), 86-100. doi: [10.30467/nivar.2022.338531.1218](https://doi.org/10.30467/nivar.2022.338531.1218)[in Persian]
- Shamsipour, A., & Safarrad, T. (2012). Satellite and Synoptic Analysis of Duststorm in Western Half of Iran (Case Study: July 2009). *Physical Geography Research*, 44(1), 111-126. doi: [10.22059/jphgr.2012.24737](https://doi.org/10.22059/jphgr.2012.24737)[in Persian]
- Vali, A., & Roustaei, F. (2018). Investigation of the Wind Erosion Trend in Central Iran Using Dust Storm Index in the Last Fifty Years. *Journal of Water and Soil Science*, 21(4), 189-200. doi: [10.29252/jstnar.21.4.189](https://doi.org/10.29252/jstnar.21.4.189)[in Persian].
- Yarmoradi, Z.; Nasiri, B., Karampour, M., & Mohamadi, G. (2019). Analysis and Clustering of Dust Storms in Eastern Iran. *Desert Management*, 6(12), 75-88. doi: [10.22034/jdmal.2019.34758](https://doi.org/10.22034/jdmal.2019.34758)[in Persian].

References (in English)

- Alam, K., Qureshi, S., Blaschke, T. (2011). Monitoring Spatiotemporal aerosol patterns over Pakistan based on MODIS, TOMS, and MISR satellite data and a HYSPLIT model. *Atmos Environ* 45, pp 4641–4651.
- Alizadeh-Choobari, O., Zawar-Reza, P., Sturman, A. (2014). The “wind of 120 days” and dust storm activity over the Sistan Basin. *Atmos. Res.* 143, pp 328–341.
- Albarakat, R., Lakshmi, V. (2019). Monitoring Dust Storms in Iraq Using Satellite Data. *Sensors*, 19(17), 3687. <https://doi.org/10.3390/s19173687>.
- Copernicus Climate Change Service (C3S) (2017). ERA5: Fifth generation of ECMWF atmospheric reanalyses of the global climate. Copernicus Climate Change Service Climate Data Store (CDS), date of access. <https://cds.climate.copernicus.eu/cdsapp#!/home>
- Ebrahimi-Khusfi, Z., Taghizadeh-Mehrjardi, R., Mirakbari, M., (2021). Evaluation of machine learning models for predicting the temporal variation of dust storm index in arid regions of Iran. *Atmospheric Pollution Research*, 12 (1), pp 134-147. doi: [10.1016/j.apr.2020.08.029](https://doi.org/10.1016/j.apr.2020.08.029)
- Furman, H. K. H. (2003). Dust storms in the Middle East: Sources of origin and their temporal characteristics. *Indoor and Built Environment*, 12(6), pp 419–426. <https://doi.org/10.1177/1420326X030371>
- Goudie, A.S. (2014). Desert Dust and Human Health Disorders. *Environment International*, 63, pp 101-113. <https://doi.org/10.1016/j.envint.2013.10.011>
- Kok, J. F., Adebiyi, A. A., Albani, S., Balkanski, Y., Checa-Garcia, R., Chin, M., Colarco, P. R., Hamilton, D. S., Huang, Y., Ito, A., Klose, M., Li, L., Mahowald, N. M., Miller, R. L., Obiso, V., Pérez García-Pando, C., Rocha-Lima, A., and Wan, J.

- S. (2021). Contribution of the world's main dust source regions to the global cycle of desert dust, *Atmospheric Chemistry and Physics*, 21, 8169–8193, <https://doi.org/10.5194/acp-21-8169-2021>
- Karami, S., Hoddein Hamzeh, N., Kaskaoutis, D.G., Rashki, A., Alam, K., Ramjbar, A. (2012). Numerical simulations of dust storms originated from dried lakes in central and southwest Asia: the case of the Aral Sea and Sistan basin. *Aeolian Research*, 50(1), pp 100679. doi.org/10.1016/j.aeolia.2021.100679.
- Kaskaoutis, D.G., Rashki, A., Housos, E.E., Mofidi, A., Goto, D., Bartzokas, A., Francois, P., Legrand, M., (2015). Meteorological aspects associated with dust storms in the Sistan region, southeastern Iran. *Clim. Dyn.* 45 (1–2), pp 407–424.
- Li, J., Wang, M.S., Lee, K.H., Nichol, J., Chan, P.W. (2020). Review of dust storm detection algorithms for multispectral satellite sensors. *Atmospheric Research*, 250, 105398. doi.org/10.1016/j.atmosres.2020.105398.
- McTainsh, G., and K., Tews (2007). Soil erosion by wind - Dust Storm Index (DSI): National Monitoring and Evaluation Framework, prepared for the National Land & Water Resources Audit, Canberra. 12, pp 29-40.
- Middleton, N. (2019). Variability and trends in dust storm frequency on decadal timescales: Climatic drivers and human impacts. *Geosciences*, 9(6), pp 261. <https://doi.org/10.3390/geosciences9060261>
- Miri, A.; Maleki, S., Middleton, N., (2021). An investigation into climatic and terrestrial drivers of dust storms in the Sistan region of Iran in the early twenty-first century. *Science of the Total Environment*, 757, 143952. <https://doi.org/10.1016/j.scitotenv.2020.143952>.
- O'Loingsigh, T., McTainsh, GH. Tews, EK. Strong, CL., Leys, JF., Shinkfield, P., Tapper, NJ. (2014b). The Dust Storm Index (DSI): a method for monitoring broad-scale wind erosion using meteorological records. *Aeolian Research*, 12, pp 29-40. <https://doi.org/10.1016/j.aeolia.2013.10.004>.
- Rayegani, B., Barati, S., Goshtasab, H., Gachpaz, S., Ramezani, J., Sarkheil, H., (2020). Sand and dust storm sources identification: A remote sensing approach. *Ecological Indicators*, 112, 106099. <https://doi.org/10.1016/j.ecolind.2020.106099>.
- Rashki A, Eriksson PG, de W. Rautenbach CJ, Kaskaoutis DG, Grote W, Dykstra J., (2013b) Assessment of chemical and mineralogical characteristics of airborne dust in the Sistan region, Iran. *Chemosphere* 90, pp 227–236.
- Rashki, A., Kaskaoutis, DG., de W. Rautenbach CJ., Eriksson PG, Giang M, Gupta P., (2012). Dust storms and their horizontal dust loading in the Sistan region, Iran. *Aeolian Res* 5, pp 51–62.
- Shao, Y., Dong, C.H. (2006). A review on East Asian dust storm climate, modeling and monitoring. *Global and Planetary Change*, 25(1-4), pp1-22. [doi:10.1016/j.gloplacha.2006.02.011](https://doi.org/10.1016/j.gloplacha.2006.02.011).
- Tan, M., Li, X., Xin, L. (2014). Intensity of dust storms in China from 1980 to 2007: A new definition. *Atmospheric Environment*, 85, pp 215–222. <https://doi.org/10.1016/j.atmosenv.2013.12.010>.
- Tan, M.: (2016). Exploring the relationship between vegetation and dust-storm intensity (DSI) in China. *J. Geogr. Sci.* 26, pp 387–396. <https://doi.org/10.1007/s11442-016-1275-2>.
- WorldBank, (2019). Sand and Dust Storms in the Middle East and North Africa Region – Sources, Costs, and Solutions, World Bank, <https://doi.org/10.1596/33036>.
- WMO, Annex II, (2019). Manual on Codes.

پرستال جامع علوم انسانی
پژوهشکاه علوم انسانی و مطالعات فرهنگی